

# О ТЕНЗОРНЫХ ФАЗОВЫХ ПЕРЕХОДАХ

А. М. Фарутин<sup>\*\*\*</sup>

Институт физических проблем им. П. Л. Капицы Российской академии наук  
119334, Москва, Россия

Поступила в редакцию 16 октября 2008 г.

В рамках теории Ландау получены фазовые диаграммы для переходов второго рода с параметром порядка в виде симметричного бесследового тензора ранга не больше шести, преобразующегося по одномерному представлению кристаллической группы. Для ранга, равного трем, исследован также случай двумерного представления.

PACS: 75.10.-b

## 1. ВВЕДЕНИЕ

Спиновые нематики [1] и тензорные магнетики [2] характеризуются тензорным параметром порядка  $S_{\alpha_1\alpha_2\dots\alpha_N}$ : тензором ранга  $N$ , полностью симметричным и обращающимся в нуль при сворачивании по паре индексов. Фазовая диаграмма для  $N = 2$  была построена в работе [3]. Задача о фазовом переходе с тензорным параметром порядка возникает и в других областях физики, в частности, фазовая диаграмма для  $N = 3$  была построена в работе [4] в применении к жидким кристаллам.

Произвольный симметричный бесследовый тензор ранга  $N$  задается  $2N + 1$  независимыми параметрами. В общем случае лишь три из них можно обратить в нуль выбором системы координат в спиновом пространстве. Такое большое число независимых переменных приводит к довольно сложным выражениям для сверток, так что их вычисление через компоненты в декартовых координатах становится малоэффективным с ростом  $N$ .

В работе представлены фазовые диаграммы для  $3 < N \leq 6$ , изложен способ простого вычисления сверток. В некоторых случаях решения найдены аналитически. Предложенные методы допускают обобщения на случай больших  $N$ .

Обменная инвариантность требует, чтобы разложение энергии по степеням параметра порядка было

линейной комбинацией его сверток. Разложение до четвертой степени имеет вид

$$E = \frac{1}{2}\tau S_{\alpha_1\alpha_2\dots\alpha_N}^2 + \frac{1}{4}\sum_i \beta_i Q_i(S_{\alpha_1\alpha_2\dots\alpha_N}), \quad (1)$$

где  $\tau \leq 0$ , а  $Q_i(S)$  — всевозможные линейно независимые свертки четырех тензоров  $S$ . Как показано в Приложении А, всего таких сверток не более  $[N/3] + 1$ , компьютерные вычисления показывают, что для  $N \leq 6$  это точная оценка. В случае четного  $N$  необходимо, чтобы параметр порядка преобразовывался по неединичному представлению кристаллической группы, в противном случае в разложении (1) возникнут свертки третьей степени по  $S$ .

## 2. ВЫЧИСЛЕНИЕ СВЕРТОК

Для вычисления сверток разложим тензор по базису  $2N + 1$  сферических функций с моментом  $N$  и различными проекциями момента на выбранную ось. Обозначим  $\mathbf{a}$ ,  $\mathbf{b}$ ,  $\mathbf{c}$  базис в спиновом пространстве и введем комплексные векторы

$$\boldsymbol{\mu} = \frac{i}{2}(\mathbf{b} + i\mathbf{c}), \quad \boldsymbol{\nu} = \frac{i}{2}(\mathbf{b} - i\mathbf{c}).$$

Определим  $k$ -й элемент базиса симметричных бесследовых тензоров ранга  $N$   $S_N^k$  с индексами  $\alpha_1, \alpha_2, \dots, \alpha_N$  по рекуррентной формуле

$$S_{N,\alpha_1\dots\alpha_N}^k = a_{\alpha_N} S_{N-1,\alpha_1\dots\alpha_{N-1}}^k + \mu_{\alpha_N} S_{N-1,\alpha_1\dots\alpha_{N-1}}^{k-1} + \nu_{\alpha_N} S_{N-1,\alpha_1\dots\alpha_{N-1}}^{k+1}, \quad (2)$$

\*E-mail: farutin@kapitza.ras.ru

\*\*Laboratoire de Spectrométrie Physique, Université Joseph Fourier, CNRS, 38402 Saint Martin d'Hères, France

$S_0^0 = 1, S_N^k = 0$  при  $|k| > N$ . С помощью формулы (2) и индукции по  $N$  легко убедиться, что все тензоры  $S_N^k$  симметричны и обращаются в нуль при сворачивании по любой паре индексов. Хотя явный вид тензоров  $S_N^k, |k| \leq N$ , далее в работе не используется, выпишем их для  $N = 1, 2, 3$ :

$$\begin{aligned} S_{1,\alpha_1}^{-1} &= \nu_{\alpha_1}, & S_{1,\alpha_1}^0 &= a_{\alpha_1}, & S_{1,\alpha_1}^1 &= \mu_{\alpha_1}; \\ S_{2,\alpha_1\alpha_2}^{-2} &= \nu_{\alpha_1}\nu_{\alpha_2}, & S_{2,\alpha_1\alpha_2}^{-1} &= \nu_{\alpha_1}a_{\alpha_2} + a_{\alpha_1}\nu_{\alpha_2}, \\ S_{2,\alpha_1\alpha_2}^0 &= a_{\alpha_1}a_{\alpha_2} + \nu_{\alpha_1}\mu_{\alpha_2} + \mu_{\alpha_1}\nu_{\alpha_2}, \\ S_{2,\alpha_1\alpha_2}^1 &= \mu_{\alpha_1}a_{\alpha_2} + a_{\alpha_1}\mu_{\alpha_2}, & S_{2,\alpha_1\alpha_2}^2 &= \mu_{\alpha_1}\mu_{\alpha_2}; \\ S_{3,\alpha_1\alpha_2\alpha_3}^{-3} &= \nu_{\alpha_1}\nu_{\alpha_2}\nu_{\alpha_3}, \\ S_{3,\alpha_1\alpha_2\alpha_3}^{-2} &= a_{\alpha_1}\nu_{\alpha_2}\nu_{\alpha_3} + \nu_{\alpha_1}a_{\alpha_2}\nu_{\alpha_3} + \nu_{\alpha_1}\nu_{\alpha_2}a_{\alpha_3}, \\ S_{3,\alpha_1\alpha_2\alpha_3}^{-1} &= a_{\alpha_1}a_{\alpha_2}\nu_{\alpha_3} + a_{\alpha_1}\nu_{\alpha_2}a_{\alpha_3} + \nu_{\alpha_1}a_{\alpha_2}a_{\alpha_3} + \\ &+ \nu_{\alpha_1}\nu_{\alpha_2}\mu_{\alpha_3} + \nu_{\alpha_1}\mu_{\alpha_2}\nu_{\alpha_3} + \mu_{\alpha_1}\nu_{\alpha_2}\nu_{\alpha_3}, \\ S_{3,\alpha_1\alpha_2\alpha_3}^0 &= a_{\alpha_1}a_{\alpha_2}a_{\alpha_3} + a_{\alpha_1}\nu_{\alpha_2}\mu_{\alpha_3} + a_{\alpha_1}\mu_{\alpha_2}\nu_{\alpha_3} + \\ &+ \nu_{\alpha_1}a_{\alpha_2}\mu_{\alpha_3} + \nu_{\alpha_1}\mu_{\alpha_2}a_{\alpha_3} + \mu_{\alpha_1}a_{\alpha_2}\nu_{\alpha_3} + \mu_{\alpha_1}\nu_{\alpha_2}a_{\alpha_3}, \\ S_{3,\alpha_1\alpha_2\alpha_3}^1 &= a_{\alpha_1}a_{\alpha_2}\mu_{\alpha_3} + a_{\alpha_1}\mu_{\alpha_2}a_{\alpha_3} + \mu_{\alpha_1}a_{\alpha_2}a_{\alpha_3} + \\ &+ \mu_{\alpha_1}\mu_{\alpha_2}\nu_{\alpha_3} + \mu_{\alpha_1}\nu_{\alpha_2}\mu_{\alpha_3} + \nu_{\alpha_1}\mu_{\alpha_2}\mu_{\alpha_3}, \\ S_{3,\alpha_1\alpha_2\alpha_3}^2 &= a_{\alpha_1}\mu_{\alpha_2}\mu_{\alpha_3} + \mu_{\alpha_1}a_{\alpha_2}\mu_{\alpha_3} + \mu_{\alpha_1}\mu_{\alpha_2}a_{\alpha_3}, \\ S_{3,\alpha_1\alpha_2\alpha_3}^3 &= \mu_{\alpha_1}\mu_{\alpha_2}\mu_{\alpha_3}. \end{aligned}$$

Поскольку полученные тензоры  $S_N^k, |k| \leq N$ , линейно независимы и их  $2N + 1$ , они образуют базис в пространстве симметричных бесследовых тензоров ранга  $N$ . Поэтому для любого элемента этого пространства можно написать разложение

$$S_{\alpha_1\alpha_2\dots\alpha_N} = \sum_{k=-N}^N A_k S_N^k, \quad (3)$$

где  $A_k$  — некоторые комплексные числа. С помощью индукции по  $N$  легко доказать, что

$$(S_N^k)^* = (-1)^k S_N^{-k},$$

так что на коэффициенты разложения (3) для действительного тензора  $S$  накладывается дополнительное условие  $A_k^* = (-1)^k A_{-k}$ .

Используя равенство (2), получаем, что свертка  $S_N^k S_M^l$  по паре индексов будет равна

$$S_{N-1}^k S_{M-1}^l - \frac{1}{2} (S_{N-1}^{k+1} S_{M-1}^{l-1} + S_{N-1}^{k-1} S_{M-1}^{l+1}).$$

С помощью этого соотношения можно выразить свертку тензора через коэффициенты  $A_k$ . Свертка квадрата тензора записывается как

$$S_{\alpha_1\alpha_2\dots\alpha_N}^2 = \frac{1}{2^N} \sum_{k=-N}^N (-1)^k C_{2N}^{N+k} A_k A_{-k}.$$

Свертка четвертой степени по  $S$ , в которой первый тензор сворачивается со вторым по  $i_1$  индексам и с третьим по  $i_2$  индексам,  $i_1 + i_2 = N$ , имеет вид

$$\begin{aligned} \frac{1}{4^N} \sum_{k=-i_1}^{i_1} \sum_{l=-i_1}^{i_1} \sum_{m=-i_2}^{i_2} \sum_{n=-i_2}^{i_2} (-1)^{k+l+m+n} C_{2i_1}^{i_1+k} \times \\ \times C_{2i_1}^{i_1+l} C_{2i_2}^{i_2+m} C_{2i_2}^{i_2+n} A_{k+n} A_{l-n} A_{-k+m} A_{-l-m}. \end{aligned}$$

Методы получения выражений для произвольных сверток приведены в Приложении А.

С помощью этих выражений легко минимизировать энергию при численных расчетах, но в некоторых случаях возможно простое аналитическое решение. Из неравенства

$$(S_{\alpha_1\dots\alpha_{N-1}\beta} S_{\alpha_1\dots\alpha_{N-1}\gamma} - t\delta_{\beta\gamma})^2 \geq 0$$

получаем, что

$$(S_{\alpha_1\dots\alpha_{N-1}\beta} S_{\alpha_1\dots\alpha_{N-1}\gamma})^2 \geq \frac{1}{3} (S_{\alpha_1\dots\alpha_N}^2)^2, \quad (4)$$

причем равенство верно только тогда, когда

$$S_{\alpha_1\dots\alpha_{N-1}\beta} S_{\alpha_1\dots\alpha_{N-1}\gamma} \propto \delta_{\beta\gamma}. \quad (5)$$

Аналогично из неравенства

$$(S_{\alpha_1\dots\alpha_{N-2}\beta\eta} S_{\alpha_1\dots\alpha_{N-2}\gamma\zeta} - tD_{\beta\gamma\eta\zeta})^2 \geq 0,$$

где

$$D_{\beta\gamma\eta\zeta} = \frac{1}{2} (\delta_{\beta\gamma}\delta_{\eta\zeta} + \delta_{\beta\zeta}\delta_{\gamma\eta}) - \frac{1}{3}\delta_{\beta\eta}\delta_{\gamma\zeta}, \quad (6)$$

получается, что

$$(S_{\alpha_1\dots\alpha_{N-2}\beta\eta} S_{\alpha_1\dots\alpha_{N-2}\gamma\zeta})^2 \geq \frac{1}{5} (S_{\alpha_1\dots\alpha_N}^2)^2, \quad (7)$$

причем равенство достигается, когда  $S_{\alpha_1\dots\alpha_{N-2}\beta\eta} S_{\alpha_1\dots\alpha_{N-2}\gamma\zeta}$  пропорционально тензору (6), имеющему сферическую симметрию. В действительности, эти неравенства верны для любого тензора, необязательно симметричного и бесследового. Также можно доказать (см. Приложение Б), что

$$(S_{\alpha_1\dots\alpha_{N-1}\beta} S_{\alpha_1\dots\alpha_{N-1}\gamma})^2 \leq \frac{1}{2} (S_{\alpha_1\dots\alpha_N}^2)^2. \quad (8)$$

Тут равенство достигается в случае, когда выбором базиса в спиновом пространстве тензор  $S$  можно свести к виду

$$AS_N^N + (-1)^N A^* S_N^{-N}. \quad (9)$$

Для любого симметричного бесследового тензора можно выбрать систему координат, в которой  $A_1 = A_{-1} = 0$  в разложении (3). Действительно, выберем ось координат  $\mathbf{a}$  так, чтобы значение функции

$$S_{\alpha_1 \dots \alpha_N} a_{\alpha_1} \dots a_{\alpha_N} \quad (10)$$

было минимально. Минимизируя выражение (10) при условии  $\mathbf{a}^2 = 1$ , имеем

$$S_{\alpha_1 \dots \alpha_{N-1} \alpha_N} a_{\alpha_1} \dots a_{\alpha_{N-1}} = t a_{\alpha_N}.$$

Подставив для  $S$  разложение (3), получим, что  $A_1 = A_{-1} = 0$ . Заметим, что при повороте вокруг вектора  $\mathbf{a}$  на угол  $\varphi$  коэффициент  $A_k$  умножается на  $e^{ik\varphi}$ . В некоторых случаях это позволяет легко определить симметрию тензора.

### 3. СЛУЧАЙ $N = 3, 4, 5$

Используя неравенства (8) и (4), легко разобраться с тензорами ранга 3, 4, 5. Действительно, в разложении (1) в этом случае есть два линейно независимых инварианта четвертой степени, при этом удобно взять следующие:

$$\frac{\beta_1}{4} (S_{\alpha_1 \dots \alpha_N}^2)^2 + \frac{\beta_2}{4} (S_{\alpha_1 \dots \alpha_{N-1} \beta} S_{\alpha_1 \dots \alpha_{N-1} \gamma})^2. \quad (11)$$

При  $\beta_2 < 0$  применяется неравенство (8), таким образом получаем решение вида (9) с

$$AA^* = -\frac{2^N \tau}{2\beta_1 + \beta_2}. \quad (12)$$

Спиновая симметрия [5] таких решений  $D_{Nh}^s$ . Аргумент  $A$  остается неопределенным из-за инвариантности энергии относительно вращения спинового пространства вокруг вектора  $\mathbf{a}$ . Уравнение (12) не имеет решений при  $2\beta_1 + \beta_2 < 0$ , в этом случае члены четвертой степени в разложении (1) не являются положительно определенными, что соответствует фазовому переходу первого рода, так что эту область параметров необходимо исключить из рассмотрения. Аналогичные утверждения верны и для остальных решений. Заметим, что  $\beta_1$  влияет лишь на модуль решения, но не на его вид, поэтому на рисунках с фазовыми диаграммами  $\beta_1$  не отображается, но предполагается достаточно большим для того, чтобы члены четвертой степени были положительно определены.

При  $\beta_2 > 0$  применяется неравенство (4), решению соответствуют тензоры, для которых верно равенство (5). Для  $N = 3$  выбором системы координат решение сводится к виду [4]

$$S = AS_3^2 + A^* S_3^{-2},$$

$$AA^* = \frac{2\tau}{3\beta_1 + \beta_2}.$$

В этом случае спиновая симметрия  $T_d^s$ . Для  $N = 4$  выбором осей в спиновом пространстве решение сводится к виду

$$S = AS_4^4 + A^* S_4^{-4} + BS_4^0,$$

$$AA^* = -\frac{10\tau}{3\beta_1 + \beta_2}, \quad B = B^* = \sqrt{-\frac{2\tau}{15\beta_1 + 5\beta_2}}.$$

Спиновая симметрия полученного состояния —  $O_h^s$ .

Для  $N = 5$  равенство (5) выполняется для различных тензоров и для определения параметра порядка необходимо учесть следующие члены разложения. Имеется довольно большое число инвариантов шестой степени, но нам не удалось найти среди них больше трех линейно независимых. Значения инвариантов  $(S_{\alpha_1 \dots \alpha_N}^2)^3$  и  $S_{\alpha_1 \dots \alpha_N}^2 (S_{\lambda_1 \dots \lambda_{N-1} \beta} S_{\lambda_1 \dots \lambda_{N-1} \gamma})^2$  фиксированы после минимизации старших членов разложения, поэтому для снятия вырождения нужно учесть лишь один инвариант, например  $\sigma \mathbf{L}^2/6$ , где

$$L_\lambda = S_{\alpha_1 \alpha_2 \alpha_3 \beta \gamma} S_{\alpha_1 \alpha_2 \alpha_3 \eta \zeta} S_{\beta \gamma \eta \zeta \lambda}. \quad (13)$$

Методом численной минимизации получено, что при  $\sigma > 0$  решение записывается в виде  $AS_5^0 + BS_5^4 + B^* S_5^{-4}$ , после чего легко найти выражения для констант:

$$BB^* = 21A^2 = \frac{3\tau}{3\beta_1 + \beta_2}.$$

Для  $\sigma < 0$  решение имеет вид  $AS_5^0 + BS_5^5 - B^* S_5^{-5}$ , а значения констант равны

$$A = \sqrt{\frac{8\tau}{105\beta_1 + 35\beta_2}},$$

$$BB^* = \sqrt{\frac{96\tau}{15\beta_1 + 5\beta_2}}.$$

Группы спиновой симметрии этих состояний, соответственно  $C_{4v}^s$  и  $C_{5v}^s$ , разрешают существование вектора, направленного вдоль оси симметрии. Действительно, для обоих решений вектор (13) не равен нулю. Поэтому переход в эту фазу сопровождается появлением несобственного ферро- или антиферромагнетизма [6], в зависимости от того, как преобразуется тензор  $S$  под действием группы кристаллической симметрии.

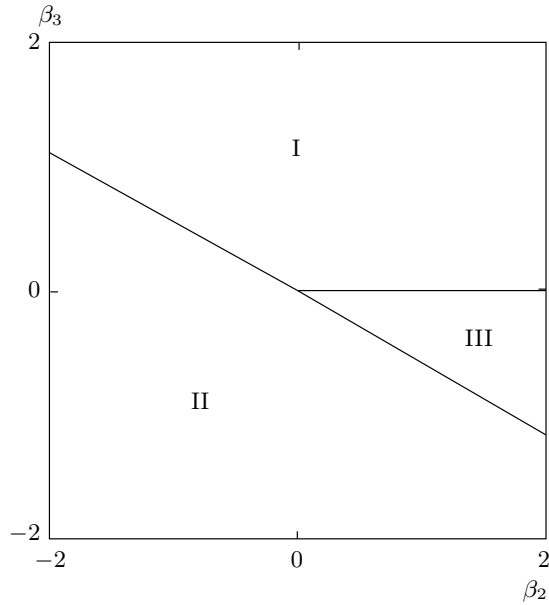


Рис. 1. Фазовая диаграмма для  $N = 6$

#### 4. СЛУЧАЙ $N = 6$

Для тензоров шестого ранга есть три линейно независимых инварианта четвертой степени. Кроме (11) возьмем в разложении (1)

$$Q_3(S) = (S_{\alpha_1 \dots \alpha_{N-2} \beta \gamma} S_{\alpha_1 \dots \alpha_{N-2} \eta \zeta})^2. \quad (14)$$

Для  $N = 6$  использовалась численная минимизация, но устойчивость некоторых фаз можно по-прежнему объяснить с помощью неравенств. Фазовая диаграмма изображена на рис. 1. В фазе I параметр порядка имеет группу симметрии икосаэдра  $Y_h^s$ . В области  $\beta_2, \beta_3 > 0, \beta_1 + \beta_2/3 + \beta_3/5 \geq 0$  устойчивость этого решения следует из неравенств (4) и (7). Выбором осей в спиновом пространстве это решение можно свести к виду

$$S = A(S_6^0 + 7(S_6^5 - S_6^{-5})),$$

$$A = \sqrt{\frac{-16\tau}{525\beta_1 + 175\beta_2 + 105\beta_3}}.$$

Фазе II соответствует спиновая симметрия  $D_{6h}^s$ , решение имеет вид (9), где

$$AA^* = \frac{-2^N \tau}{2\beta_1 + \beta_2 + \beta_3}. \quad (15)$$

Устойчивость данной фазы при  $\beta_2, \beta_3 < 0, \beta_1 + \beta_2/2 + \beta_3/2 \geq 0$  подтверждается неравенством (8) и аналогичным неравенством

$Q_3(S) \leq (S^2)^2/2$ . Спиновая симметрия фазы III —  $O_h$ , параметр порядка определяется выражением  $S = A(S_6^0 + 7(S_6^4 + S_6^{-4}))$ , где

$$A = \sqrt{\frac{-44\tau}{5082\beta_1 + 1694\beta_2 + 1085\beta_3}}.$$

$S_{\alpha_1 \dots \alpha_6} S_{\alpha_1 \dots \alpha_4 \beta_1 \beta_2}$  имеет ту же симметрию, поэтому в этой фазе возникает несобственный тензор четвертого ранга с кубической симметрией, величина которого пропорциональна  $\tau^2$ . Легко также найти границы между фазами:  $\beta_3 = 0, 5\beta_2 + 9\beta_3 = 0, 121\beta_2 + 208\beta_3 = 0$ .

#### 5. СЛУЧАЙ $N = 3$ , ДВУМЕРНОЕ ПРЕДСТАВЛЕНИЕ

Вернемся к случаю  $N = 3$  для параметра порядка, преобразующегося по двумерному представлению  $E$  кристаллического класса  $C_{3v}$ . В работе [6] была рассмотрена лишь небольшая часть фазовой диаграммы, здесь опишем все фазы, имеющиеся на ней. Разложение для энергии имеет вид

$$E = \tau S_{\alpha\beta\gamma} S_{\alpha\beta\gamma}^* + \beta_1 (S_{\alpha\beta\gamma} S_{\alpha\beta\gamma}^*)^2 + \beta_2 S_{\alpha\beta\gamma}^2 S_{\lambda\mu\nu}^{*2} + \beta_3 S_{\alpha\beta\gamma} S_{\alpha\beta\lambda}^* S_{\mu\nu\gamma} S_{\mu\nu\lambda}^* + \beta_4 S_{\alpha\beta\gamma}^* S_{\alpha\beta\lambda} S_{\mu\nu\gamma} S_{\mu\nu\lambda}^* + \beta_5 S_{\alpha\beta\gamma} S_{\alpha\beta\lambda} S_{\mu\nu\gamma}^* S_{\mu\nu\lambda}^*$$

где  $S_{\alpha\beta\gamma} = S_{\alpha\beta\gamma}^{(1)} + iS_{\alpha\beta\gamma}^{(2)}, S_{\alpha\beta\gamma}^{(j)}$  — компоненты параметра порядка. Из равенства (22) для тензоров  $S, S^*, S \pm S^*$  легко получить, что член  $S_{\alpha\beta\gamma} S_{\alpha\lambda\mu} S_{\beta\lambda\nu}^* S_{\gamma\mu\nu}^*$  линейно зависим с остальными:

$$6S_{\alpha\beta\gamma} S_{\alpha\lambda\mu} S_{\beta\lambda\nu}^* S_{\gamma\mu\nu}^* = (S_{\alpha\beta\gamma} S_{\alpha\beta\gamma}^*)^2 + 2S_{\alpha\beta\gamma}^2 S_{\lambda\mu\nu}^{*2} - 2S_{\alpha\beta\gamma} S_{\alpha\beta\lambda}^* S_{\mu\nu\gamma} S_{\mu\nu\lambda}^* - 2S_{\alpha\beta\gamma}^* S_{\alpha\beta\lambda} S_{\mu\nu\gamma} S_{\mu\nu\lambda}^* - 2S_{\alpha\beta\gamma} S_{\alpha\beta\lambda} S_{\mu\nu\gamma}^* S_{\mu\nu\lambda}^*.$$

Всего удалось обнаружить девять фаз (см. рис. 2). Из них четыре имеют высокую симметрию, не допускающую существования несобственного векторного магнетизма: в двух фазах, изображенных на рис. 2а один из тензоров  $S_{\alpha\beta\gamma}^{(j)}$  обращается в нуль. В этом случае разложение энергии для второго тензора  $S_{\alpha\beta\gamma}^{(j)}$  получается таким же, как и для тензора третьего ранга, преобразующегося по одномерному представлению. В результате, фаза VIII имеет симметрию  $D_{3h}^s$ , а фаза IX —  $T_d^s$ .

На рис. 2б показаны остальные семь фаз. В области I

$$S = \sqrt{\frac{-2\tau}{\beta_1 + \beta_4}} S_3^3.$$

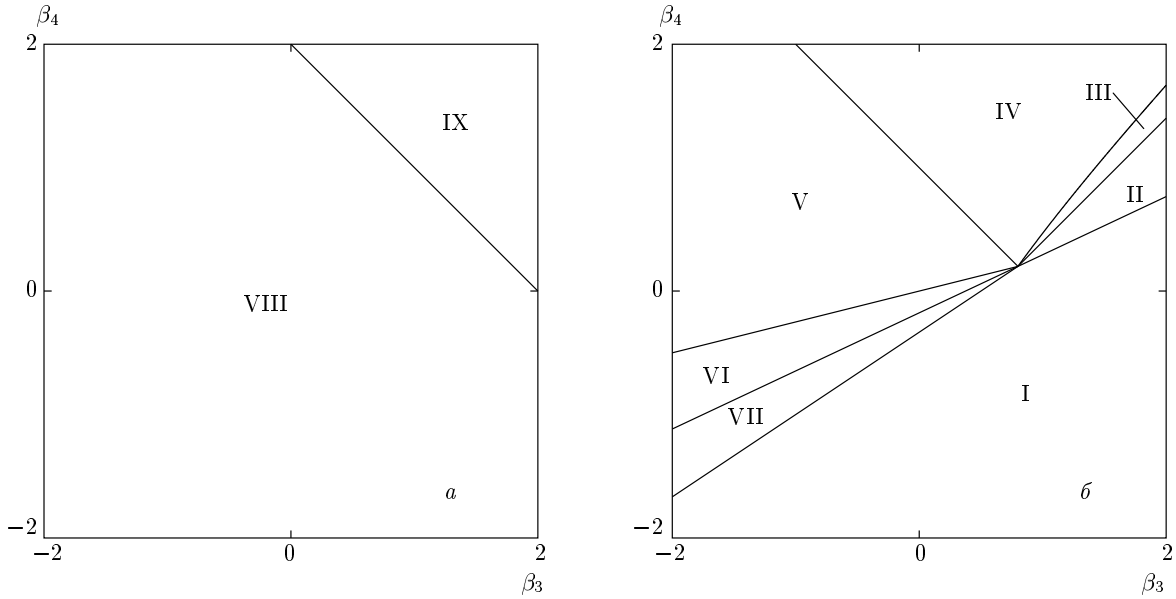


Рис. 2. Фазовые диаграммы для  $N = 3$  в случае, когда параметр порядка преобразуется по двумерному представлению,  $\beta_5 = -1$ ,  $\beta_2 = -10$  (а), 1 (б)

Спиновая симметрия такого состояния  $C_{3h}^s$ . В области II

$$S = \sqrt{\frac{-6\tau}{9\beta_1 + \beta_3 + 5\beta_4}} S_3^2.$$

Спиновая симметрия фазы  $C_2^s$ . Область III подробно рассмотрена в работе [6], ее симметрия  $C_3^s$ . В области IV такая же спиновая симметрия, но параметр порядка задается другой формулой:

$$S = r \cos \phi (S_3^1 - 2S_3^3 + 3S_3^{-3}) + r \sin \phi (S_3^{-1} - 2S_3^{-3} + 3S_3^3),$$

где

$$r^2 = -\tau(70\beta_2 + 9\tilde{\beta} + 23\beta_5) \times \left\{ 2[\beta_1\beta' + 9\beta_5^2 + 67\beta_2\tilde{\beta} + 26\tilde{\beta}\beta_5 + 27\beta_2\beta_5 + 9\tilde{\beta}^2] \right\}^{-1},$$

$$\sin 2\phi = \frac{30\beta_2 + 3\tilde{\beta} + 9\beta_5}{70\beta_2 + 9\tilde{\beta} + 23\beta_5},$$

$$\tilde{\beta} = \beta_3 + \beta_4, \quad \beta' = 200\beta_2 + 27\tilde{\beta} + 67\beta_5.$$

В области V спиновая группа  $E^s$ , из-за такой низкой симметрии нам не удалось найти аналитическое выражение для решения в этой области. В области VI две фазы имеют одинаковую энергию, в первой фазе

$$S = \eta S_3^2 + \zeta S_3^{-3}, \tag{16}$$

во второй

$$S = \eta' S_3^1 + \zeta' S_3^{-2}. \tag{17}$$

Модули констант определяются следующими выражениями:

$$\eta\eta^* = \frac{-2\tau\tilde{\beta}}{(\beta_1 + \beta_4)(-11\beta_3 + 14\beta_4 - 6\beta_5) - \tilde{\beta}^2},$$

$$\zeta\zeta^* = \frac{-4\tau(-5\beta_3 + 5\beta_4 - 3\beta_5)}{(\beta_1 + \beta_4)(-11\beta_3 + 14\beta_4 - 6\beta_5) - \tilde{\beta}^2},$$

$$\eta'\eta'^* = \zeta\zeta^*/9, \quad \zeta'\zeta'^* = \eta\eta^* - \eta'\eta'^*,$$

$$\tilde{\beta} = 3\beta_4 - 2\beta_3 - \beta_5.$$

Различие этих решений проявляется в свертках шестой степени, кроме того для определения соотношения между аргументами параметров в решении (16) необходимо разложить энергию до тридцатой степени, а в решении (17) — до шестой. Действительно, пусть некоторый член разложения энергии является сверткой  $k$  штук  $S$  и  $l$  штук  $S^*$ , тогда из инвариантности энергии относительно кристаллических преобразований следует, что  $k - l$  кратно трем, а из того, что ранг тензора нечетен, следует, что  $k - l$  кратно двум. Для решения (17) члены шестой степени оказываются зависимыми от фаз  $\eta'$  и  $\zeta'$ . Раскрыв скобки в произведении  $S^k S^{*l}$  для решения (16), получим выражения вида

$$\eta^a \eta'^{*b} \zeta^c \zeta'^{*d} (S_3^2)^a (S_3^{-2})^b (S_3^3)^c (S_3^{-3})^d, \tag{18}$$

где  $a + d = k$ ,  $b + c = l$ . Для того чтобы какая-либо свертка выражения (18) была не равна нулю, оно

должно быть инвариантно относительно вращения спинового пространства вокруг вектора  $\mathbf{a}$ , это значит, что  $2(a - b) + 3(c - d) = 0$ . Следовательно, есть целое число  $f$  такое, что  $a - b = 3f$ , а также  $c - d = -2f$ . Отсюда получаем, что

$$k - l = a + d - b - c = 5f.$$

Как было показано выше, число  $k - l$  также должно быть кратно шести, т. е.  $k - l$  делится на 30. Члены, в которых  $k - l = 0$ , зависят лишь от модулей  $\eta$  и  $\zeta$ , так как для них  $a = b$  и  $c = d$ . Получаем, что  $|k - l| \geq 30$ , что возможно в членах тридцатой степени.

Симметрия обеих фаз  $E^s$ . В области VII остается лишь одна фаза (16), так как формулы для  $\zeta' \zeta'^*$  дают отрицательные значения. В этой же области и в части области I у энергии есть еще один локальный минимум, определяющийся по формуле (17) с

$$\zeta' = 0, \quad \eta' \eta'^* = \sqrt{\frac{-60\tau}{225\beta_1 + 76\beta_3 + 101\beta_4 + 36\beta_5}},$$

энергия которого больше энергии основного решения.

### 6. ЗАКЛЮЧЕНИЕ

В заключение мы представили фазовые диаграммы для теории Ландау фазовых переходов второго рода с параметром порядка в виде симметричного бесследового спинового тензора ранга не больше шести, преобразующегося по одномерному представлению кристаллической группы. Для тензора третьего ранга был рассмотрен и случай двумерного представления. Были получены решения, характеризующиеся следующими группами спиновой симметрии:  $T_d^s, O_h^s, Y_h^s, D_{nh}^s, C_{3h}^s, C_2^s, E^s, C_s^s, C_{4v}^s, C_{5v}^s$ .

Благодарю Е. Р. Подоляка за консультации по компьютерным вычислениям и В. И. Марченко за полезное обсуждение.

Работа выполнена при финансовой поддержке РФФИ (грант №06-02-17281) и Фонда содействия отечественной науке.

### ПРИЛОЖЕНИЕ А

#### Линейные соотношения для свертки

Для тензора  $S$  возьмем функцию

$$f(x) = \sum_k A_k x^{2k},$$

где  $A_k$  — коэффициенты в разложении (3) для  $S$ . Тензорному произведению тензоров  $T_1, \dots, T_l$ , которым соответствуют функции  $f_1(x), \dots, f_l(x)$  сопоставим функцию  $f_1(x_1) \dots f_l(x_l)$ . Пусть есть два тензора  $S_{\alpha_1 \dots \alpha_N}$  и  $T_{\beta_1 \dots \beta_M}$ , которым соответствуют функции  $f(x)$  и  $g(y)$ . Тогда, если в произведении

$$f(x)g(y) \left[ 1 - \frac{1}{2} \left( \frac{x^2}{y^2} + \frac{y^2}{x^2} \right) \right] = -f(x)g(y) \frac{(x-y)^2}{2xy}$$

оставить только члены, в которых  $x$  входит в степени по модулю не большей  $2N - 2$ , а  $y$  в степени по модулю не большей  $2M - 2$ , то получившаяся функция соответствует свертке  $S_{\alpha_1 \dots \alpha_{N-1} \gamma} T_{\beta_1 \dots \beta_{M-1} \gamma}$ . После  $N$ -кратного применения такого рассуждения получим, что  $S_{\alpha_1 \dots \alpha_N}^2$  равно свободному члену в выражении

$$f(x)f(y) \frac{(-1)^N (x-y)^{2N}}{(2xy)^N}.$$

Для вычисления свертки четвертой степени нужно рассматривать функции четырех переменных  $x_1, x_2, x_3, x_4$ . Свертка, где первый тензор сворачивается со вторым по  $k_1$  индексам, с третьим — по  $k_2$ , с четвертым — по  $k_3$ , ( $k_1 + k_2 + k_3 = N$ ) равна свободному члену функции

$$\frac{f(x_1)f(x_2)f(x_3)f(x_4)}{(4x_1x_2x_3x_4)^N} [(x_1 - x_2)(x_3 - x_4)]^{2k_1} \times \\ \times [(x_1 - x_3)(x_4 - x_2)]^{2k_2} [(x_1 - x_4)(x_2 - x_3)]^{2k_3}. \quad (19)$$

Легко обобщить такие формулы на случай свертки других степеней  $S$ . Раскрыв скобки, можно получить формулы для вычисления произвольных свертки тензора  $S$ .

Для выяснения линейных зависимостей между свертками введем следующие обозначения:

$$p_1 = (x_1 - x_2)(x_3 - x_4), \\ p_2 = (x_1 - x_3)(x_4 - x_2), \\ p_3 = (x_1 - x_4)(x_2 - x_3).$$

Величины  $p_i$  оказываются связанными соотношением

$$p_1 + p_2 + p_3 = 0. \quad (20)$$

Поскольку значения для свертки не должны меняться при перестановках  $x_1, x_2, x_3, x_4$ , можно симметризовать выражения (19) по этим переменным.

Покажем, что среди всевозможных выражений вида

$$p_1^{2k_1} p_2^{2k_2} p_3^{2k_3} + p_1^{2k_2} p_2^{2k_3} p_3^{2k_1} + p_1^{2k_3} p_2^{2k_1} p_3^{2k_2} + \\ + p_1^{2k_1} p_2^{2k_3} p_3^{2k_2} + p_1^{2k_2} p_2^{2k_1} p_3^{2k_3} + p_1^{2k_3} p_2^{2k_2} p_3^{2k_1}, \quad (21)$$

где  $k_1 + k_2 + k_3 = N$ , а  $p_i$  удовлетворяют равенству (20), можно выбрать не более  $[N/3] + 1$  линейно независимых выражений. Действительно, симметрический многочлен (21) можно представить как многочлен от основных симметрических многочленов для трех переменных

$$s_1 = p_1 + p_2 + p_3, \quad s_2 = p_1p_2 + p_2p_3 + p_3p_1, \\ s_3 = p_1p_2p_3.$$

Поскольку  $s_1 = 0$ , остаются только переменные  $s_2$  и  $s_3$ . Все такие многочлены можно разложить по базису с элементами в виде  $s_2^k s_3^l$ , где  $2k + 3l = 2N$ , а таких элементов как раз  $[N/3] + 1$ . Разложив все функции вида (21) по такому базису, можно получить линейные соотношения для сверток.

Например, для  $N = 3$  имеем

$$\frac{1}{2}(S_{\alpha\beta\gamma}^2)^2 = (S_{\alpha\beta\gamma}S_{\alpha\beta\lambda})^2 + S_{\alpha\beta\gamma}S_{\alpha\lambda\mu}S_{\beta\lambda\nu}S_{\gamma\mu\nu}, \quad (22)$$

для  $N = 4$  —

$$(S_{\alpha\beta\gamma\delta}S_{\alpha\beta\lambda\mu})^2 = -\frac{3}{10}(S_{\alpha\beta\gamma\delta}^2)^2 + \frac{8}{5}(S_{\alpha\beta\gamma\delta}S_{\alpha\beta\gamma\lambda})^2,$$

$$10S_{\alpha\beta\gamma\delta}S_{\alpha\beta\lambda\mu}S_{\nu\rho\gamma\lambda}S_{\nu\rho\delta\mu} = (S_{\alpha\beta\gamma\delta}^2)^2 - 2(S_{\alpha\beta\gamma\delta}S_{\alpha\beta\gamma\lambda})^2.$$

### ПРИЛОЖЕНИЕ Б

#### Неравенства для сверток

Введем обозначение

$$T_{\beta\gamma} = S_{\alpha_1\alpha_2\dots\alpha_{N-1}\beta}S_{\alpha_1\alpha_2\dots\alpha_{N-1}\gamma},$$

требуется доказать, что

$$T_{\alpha\alpha}^2 \geq 2T_{\alpha\beta}^2. \quad (23)$$

Выберем систему координат в спиновом пространстве, в которой тензор  $T$  имеет диагональный вид. Пусть  $t_1, t_2, t_3$  — его собственные числа. Тогда

$$T_{\alpha\alpha} = t_1 + t_2 + t_3,$$

$$T_{\alpha\beta}^2 = t_1^2 + t_2^2 + t_3^2,$$

а неравенство (23) запишется как

$$2(t_1^2 + t_2^2 + t_3^2) \leq (t_1 + t_2 + t_3)^2. \quad (24)$$

Собственные числа  $t_i \geq 0$ , так как для любого вектора  $x$

$$T_{\alpha\beta}x_\alpha x_\beta = (S_{\alpha_1\alpha_2\dots\alpha_{N-1}\beta}x_\beta)^2 \geq 0.$$

Вспомогательное утверждение: пусть  $a_1, a_2, a_3$  и  $b_1, b_2, b_3$  — две тройки неотрицательных чисел, удовлетворяющих условию (24), тогда  $a_1 + b_1, a_2 + b_2, a_3 + b_3$  — тоже тройка неотрицательных чисел, удовлетворяющих условию (24). Действительно,

$$\left(\sum_i (a_i + b_i)\right)^2 \geq 2\left(\sqrt{\sum_i a_i^2} + \sqrt{\sum_i b_i^2}\right)^2 = \\ = 2\left(\sum_i a_i^2 + \sum_i b_i^2\right) + 4\sqrt{\left(\sum_i a_i^2\right)\left(\sum_i b_i^2\right)} \geq \\ \geq 2\left(\sum_i a_i^2 + \sum_i b_i^2\right) + 4\sum_i a_i b_i = 2\sum_i (a_i + b_i)^2.$$

Таким образом, если  $U_{\alpha\beta} = V_{\alpha\beta} + W_{\alpha\beta}$  — тензор, приведенный к собственным осям, а  $V$  и  $W$  — два тензора, необязательно диагональных в выбранной системе координат, но такие, что их диагональные элементы неотрицательны и удовлетворяют условию (24), то для  $U$  верно неравенство (23). По индукции можно распространить это утверждение на сумму произвольного числа тензоров.

Если зафиксировать индексы  $\alpha_1, \alpha_2, \dots, \alpha_{N-2}$ , то  $S_{\alpha_1\alpha_2\dots\alpha_{N-2}\beta\gamma} = A_{\beta\gamma}$  — симметричный бесследовый тензор второго ранга, для него верно равенство (проверяется приведением тензора к собственным осям)

$$(A_{\beta\gamma}A_{\gamma\lambda})^2 = \frac{1}{2}(A_{\beta\gamma}^2)^2.$$

Отсюда следует, что диагональные элементы матрицы

$$\sum_\gamma A_{\beta\gamma}A_{\gamma\lambda} = \sum_\gamma S_{\alpha_1\alpha_2\dots\alpha_{N-2}\beta\gamma}S_{\alpha_1\alpha_2\dots\alpha_{N-2}\gamma\lambda}$$

(в этом равенстве не проводится суммирование по повторяющимся индексам) удовлетворяют условию (24). Поскольку они неотрицательны, получаем, что  $T_{\gamma\lambda}$ , будучи суммой таких матриц, имеет диагональные элементы, удовлетворяющие условию (24). Это доказывает неравенство.

Равенство сохраняется, только если все матрицы

$$\sum_\gamma S_{\alpha_1\alpha_2\dots\alpha_{N-2}\beta\gamma}S_{\alpha_1\alpha_2\dots\alpha_{N-2}\gamma\lambda}$$

могут быть одновременно приведены к собственным осям и их собственные числа пропорциональны (т. е. все такие матрицы отличаются лишь умножением на скалярный множитель). Если все три собственных значения таких матриц различны, то в этих же

осях диагональны и матрицы  $A_{\beta\gamma} = S_{\alpha_1\alpha_2\dots\alpha_{N-2}\beta\gamma}$ . Принимая во внимание, что  $A_{\beta\beta} = 0$ , получим, что

$$S_{\alpha_1\alpha_2\dots\alpha_{N-2}\beta\gamma} = S'_{\alpha_1\alpha_2\dots\alpha_{N-2}} A_{\beta\gamma}.$$

Но чтобы свертка  $S$  по  $\alpha_1$  и  $\beta$  была равна нулю, необходимо, чтобы у матрицы  $A$  было нулевое собственное число.

Есть только два набора из трех собственных чисел для матриц  $A_{\beta\gamma}$ , среди которых два равны по модулю, а сумма всех трех равна нулю. Случай, при котором знаки собственных чисел совпадают, аналогичен уже разобранному, так как опять все матрицы  $A_{\beta\gamma}$  можно диагонализировать в одной системе координат. Остается один вариант, при котором одно из собственных чисел равно нулю, а два других противоположны. В этом случае в выбранной системе координат

$$T_{\beta\gamma} \propto \mu_\beta \nu_\gamma + \nu_\beta \mu_\gamma = S_{1,\beta}^1 S_{1,\gamma}^{-1} + S_{1,\beta}^{-1} S_{1,\gamma}^1.$$

Взяв для  $S$  разложение вида (3), получим для коэффициента при  $a_\beta a_\gamma = S_1^0 S_1^0$  в выражении для  $T_{\beta\gamma}$ :

$$\frac{1}{2^{N-1}} \sum_{k=1-N}^{N-1} (-1)^k C_{2N-2}^{N-1+k} A_k A_{-k} = 0.$$

Поскольку  $A_{-k} = (-1)^k A_k^*$ , при  $|k| < N$  получим  $A_k = 0$ . Окончательно имеем

$$S_{\alpha_1\alpha_2\dots\alpha_N} = A \mu_{\alpha_1} \dots \mu_{\alpha_N} + (-1)^N A^* \nu_{\alpha_1} \dots \nu_{\alpha_N}.$$

Для такого тензора равенство выполняется.

Используя доказанное неравенство, с помощью похожего приема можно доказать, что для произвольных  $k$  и  $l$

$$(S_{\alpha_1\dots\alpha_k\beta_1\dots\beta_l} S_{\alpha_1\dots\alpha_{k+l}})^2 \leq \frac{1}{2} (S_{\alpha_1\dots\alpha_{k+l}}^2)^2,$$

а равенство достигается, если выбором осей координат тензор  $S$  можно привести к виду (9).

Таким образом, для произвольного ранга  $N$  на фазовой диаграмме есть область, в которой решение имеет вид (9), что соответствует спиновой группе  $D_{nh}$ .

## ЛИТЕРАТУРА

1. А. Ф. Андреев, И. А. Грищук, ЖЭТФ **84**, 467 (1984).
2. В. И. Марченко, Письма в ЖЭТФ **48**, 387 (1988).
3. V. Barzykin, L. P. Gorkov, and A. V. Sokol, Europhys. Lett. **15**, 869 (1991).
4. T. C. Lubensky and L. Radzihovsky, Phys. Rev. E **66**, 031704 (2002).
5. А. М. Фарутин, В. И. Марченко, ЖЭТФ **127**, 1106 (2005).
6. А. М. Фарутин, Письма в ЖЭТФ **87**, 561 (2008).